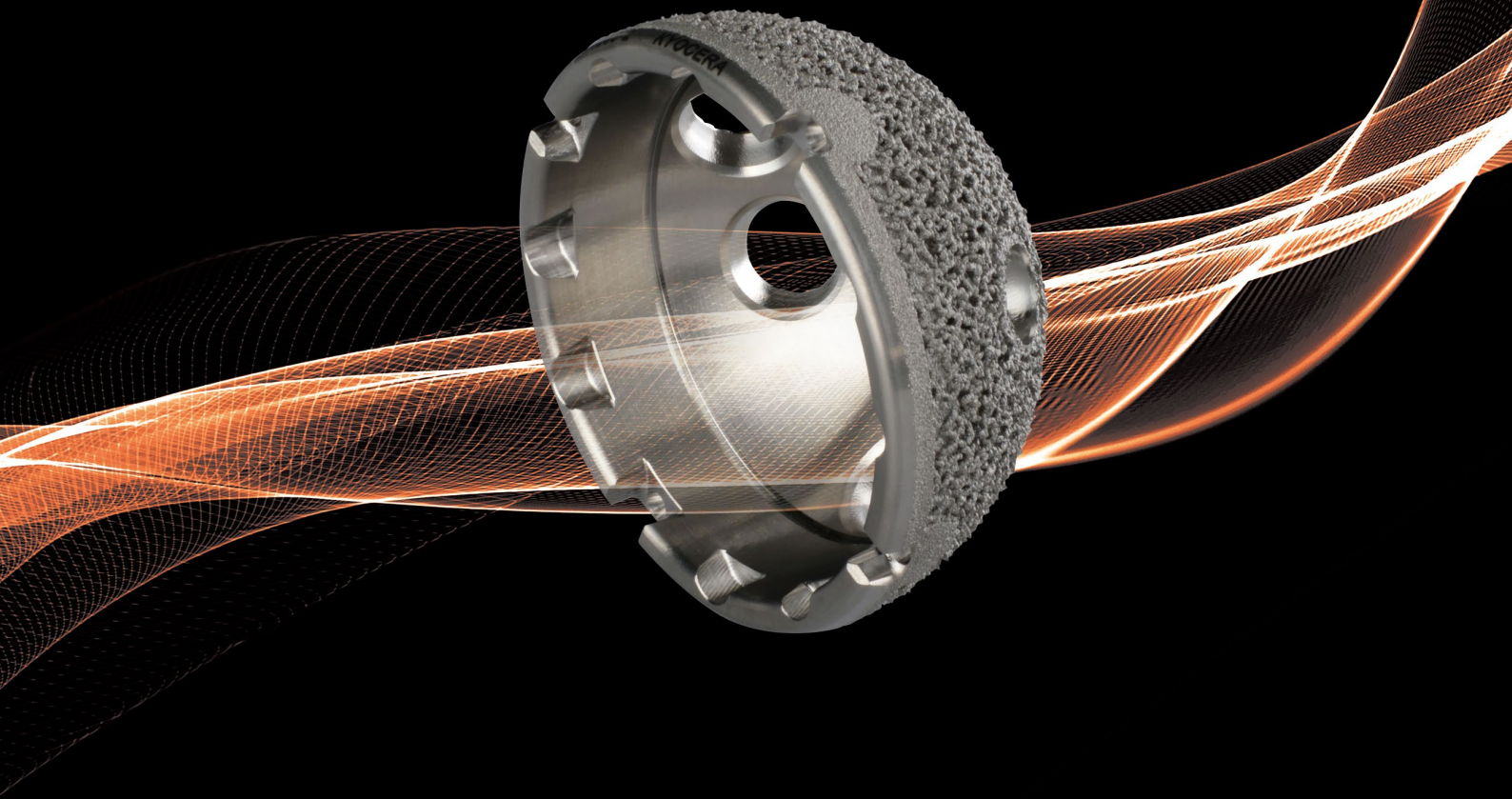




# Initia<sup>®</sup> T3



# T3 Tesera Trabecular Technology

早期の骨癒合及び長期的安定性を促進するために開発

Initia T3シェルは京セラ独自の3次元積層造形技術「T3」を搭載。  
高い初期固定性が期待できる、人の海面骨を模倣し、表面化された3Dポーラス構造。

## T3

## 特徴

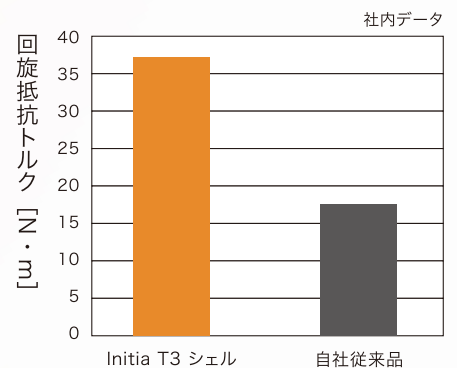
Features

### 1. 連結した不規則な構造の気孔

骨をポーラス構造内で維持するための鍵となる血管新生及び細胞の遊走と増殖には、連結した気孔形態が求められることから、T3では、連結した不規則な構造の気孔を採用 [1,2]。

### 2. 平均気孔径620 $\mu$ m 平均気孔率63.6%

### 3. 高い回旋抵抗トルク



海綿骨を模擬した骨ブロックに設置して  
同一サイズでの回旋抵抗トルク測定



### 1. 電子ビーム積層造形法

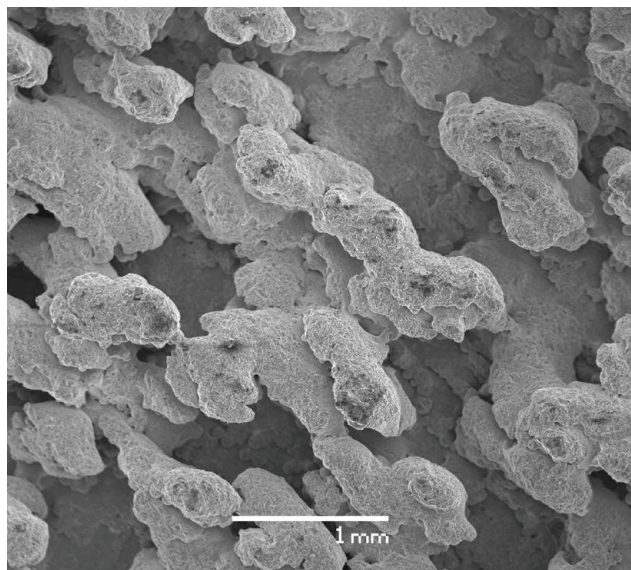
材料粉末を層状に敷き詰め高出力の電子ビームで直接焼結して造形を行う手法。粗面化された表面とカップ母材を一体成形。

### 2. 積層間隔 $50\mu\text{m}$ 以下

細かい積層間隔による高い造形精度で気孔径・気孔率をコントロールする製造が可能。

### 3. Titanium Alloy

優れた生体親和性と、高い機械的安全性を有するチタン合金 (Ti-6Al-4V) を使用。



### 1. スクリューホールのバリエーション



### 2. スクエアインパクト機構



### 3. ラウンドさせたシェル辺縁

# Ordering Information

## Initia T3 シェル



### Initia T3 シェル ノンホール

写真はクラスターホールです。

商品NO.	商品名	外径(mm)	穴数
BAMH17-100103	INITIA T3シェル 44-NH	44	0
BAMH17-100104	INITIA T3シェル 46-NH	46	
BAMH17-100105	INITIA T3シェル 48-NH	48	
BAMH17-100106	INITIA T3シェル 50-NH	50	
BAMH17-100107	INITIA T3シェル 52-NH	52	
BAMH17-100108	INITIA T3シェル 54-NH	54	
BAMH17-100109	INITIA T3シェル 56-NH	56	
BAMH17-100110	INITIA T3シェル 58-NH	58	

### Initia T3 シェル クラスターホール

商品NO.	商品名	外径(mm)	穴数
BAMH17-100123	INITIA T3シェル 44-3H	44	3
BAMH17-100124	INITIA T3シェル 46-3H	46	
BAMH17-100125	INITIA T3シェル 48-4H	48	
BAMH17-100126	INITIA T3シェル 50-4H	50	4
BAMH17-100127	INITIA T3シェル 52-4H	52	
BAMH17-100128	INITIA T3シェル 54-4H	54	
BAMH17-100129	INITIA T3シェル 56-4H	56	
BAMH17-100130	INITIA T3シェル 58-4H	58	

### Initia T3 シェル マルチホール

商品NO.	商品名	外径(mm)	穴数
BAMH17-100143	INITIA T3シェル 44-5H	44	5
BAMH17-100144	INITIA T3シェル 46-7H	46	7
BAMH17-100145	INITIA T3シェル 48-11H	48	11
BAMH17-100146	INITIA T3シェル 50-11H	50	
BAMH17-100147	INITIA T3シェル 52-11H	52	
BAMH17-100148	INITIA T3シェル 54-11H	54	
BAMH17-100149	INITIA T3シェル 56-11H	56	
BAMH17-100150	INITIA T3シェル 58-11H	58	

上記以外のサイズについては別途お問い合わせください。  
材質：チタン合金

## Initia Dual Mobility System

### メタルライナー

商品NO.	商品名	外径(mm)	内径(mm)	コード
BAMH08-200211	I-DM M ライナー 42/32 A	42	32	A※
BAMH08-200212	I-DM M ライナー 44/34 B	44	34	B
BAMH08-200213	I-DM M ライナー 46/36 C	46	36	C
BAMH08-200214	I-DM M ライナー 48/38 D	48	38	D
BAMH08-200215	I-DM M ライナー 50/40 E	50	40	E
BAMH08-200216	I-DM M ライナー 52-54/42 F	52	42	F
		54		
BAMH08-200217	I-DM M ライナー 56-58/46 G	56	46	G
		58		
BAMH08-200218	I-DM M ライナー 60-64/48 H	60	48	H※
		62		
		64		
BAMH08-200219	I-DM M ライナー 66-70/52 I	66	52	I※

材質：コバルトクロム合金

※オプション

### ベアリング

商品NO.	商品名	外径(mm)	内径(mm)	コード
BAMH08-200221	I-DM ベアリング 32/22 A	32	22	A※
BAMH08-200222	I-DM ベアリング 34/22 B	34		B
BAMH08-200223	I-DM ベアリング 36/26 C	36	26	C
BAMH08-200224	I-DM ベアリング 38/28 D	38	28	D
BAMH08-200225	I-DM ベアリング 40/28 E	40		E
BAMH08-200226	I-DM ベアリング 42/28 F	42		F
BAMH08-200227	I-DM ベアリング 46/28 G	46		G
BAMH08-200228	I-DM ベアリング 48/28 H	48		H※
BAMH08-200229	I-DM ベアリング 52/28 I	52		I※

同一コードの商品を組み合わせてご使用ください。

※オプション

材質：ビタミンE添加UHMWPE

## Aquala VE SQRUMライナー



### Aquala VE SQRUMライナーSTD

商品NO.	商品名	内径(mm)	シェル外形(mm)
BAMH08-200085	アクアラVESQSTD 28-42	28	42
BAMH08-200086	アクアラVESQSTD 28-44		44
BAMH08-200125	アクアラVESQSTD 32-46	32	46
BAMH08-200126	アクアラVESQSTD 32-48		48
BAMH08-200127	アクアラVESQSTD 32-50		50
BAMH08-200128	アクアラVESQSTD 32-52/54		52/54
BAMH08-200157	アクアラVESQSTD 36-50	36	50
BAMH08-200158	アクアラVESQSTD 36-52/54		54/54

### Aquala VE SQRUMライナーEL

商品NO.	商品名	内径(mm)	シェル外形(mm)
BAMH08-200105	アクアラVESQEL 28-42	28	42
BAMH08-200106	アクアラVESQEL 28-44		44
BAMH08-200141	アクアラVESQEL 32-46	32	46
BAMH08-200142	アクアラVESQEL 32-48		48
BAMH08-200143	アクアラVESQEL 32-50		50
BAMH08-200144	アクアラVESQEL 32-52/54		52/54

上記以外のサイズについては別途お問い合わせください。  
材質：ビタミンE添加UHMWPE



一般的名称：人工股関節寛骨臼コンポーネント  
Initia T3シェル [医療機器承認番号：30300BZX00324000]

一般的名称：人工股関節寛骨臼コンポーネント  
Initia Dual Mobilityシステム [医療機器承認番号：30500BZX00191000]

一般的名称：人工股関節寛骨臼コンポーネント  
Aquala VEライナー [医療機器承認番号：22800BZX00099000]

一般的名称：人工股関節大腿骨コンポーネント  
BIOCERAM AZULヘッド [医療機器承認番号：22600BZX00510000]

- Mour M, Das D, Winkler T, Hoenig E, Mielke G, Morlock MM, Schilling AF. Advances in Porous Biomaterials for Dental and Orthopaedic Applications. Materials. 2010;3:2947-2974.
- Nouri A, Hodgson PD, Wen C. Biomimetic Porous Titanium Scaffolds for Orthopaedic and Dental Applications. In Mukherjee A, ed. Biomimetics Learning from Nature. InTech; 2010;21:415-450.